

**ELEMENTS DE CORRECTION DE CCP MP 2010**
**Question 1**

a) Le cahier des charges impose une production de 20000L/j, à raison de bidons de 5L, cela représente donc :  $20000/5 = \underline{4000 \text{ Bidons/jours}}$

b) Le tableau 1 donne alors :  $m \times n \times c = 10 \times 5 \times 5 = 250 \text{ Bidons/palettes}$   
Il faut donc produire :  $4000/250 = \underline{16 \text{ palettes/jours}}$

c) Sur une production de 8h, on a donc seulement 30mn à consacrer par palette.  
Le temps de transfert étant de 2mn, il ne reste donc que 28mn pour la remplir.

d) Pour 250 bidons, cela représente alors  $1680s/250 = \underline{6.72s/bidon}$ .

**Question 2-1**

*Cas 2*

Nous avons une accélération constante, nous avons ainsi :  $\theta(t_1) = \frac{1}{2} \cdot \dot{\omega}_{\max} \cdot t_1^2 = 18,375^\circ$

La phase de décélération produite quant à elle la même variation, il reste donc, pour la phase à vitesse constante maxi :  $d_2 = \frac{90^\circ - 18,375^\circ \cdot 2}{\dot{\omega}_{\max}} = \frac{53,25^\circ}{105^\circ/s} = 0,51s$

*Cas 3*

Nous n'avons dans ce cas pas de phase à vitesse constante, chaque phase d'accélération ne produit que  $15^\circ/2 = 7,5^\circ$ , d'où :  $t_1 = \sqrt{\frac{2 \cdot 7,5^\circ}{\dot{\omega}_{\max}}} = 0,22s$

On complète alors le tableau :

Cas	Axe	Amplitude	$d_1 = t_1$	$d_2 = t_2 - t_1$	$d_3 = d_1$	Ti
1	A1	$45^\circ$	0,35	0,08	0,35	0,78
2	A2	$90^\circ$	0,35	0,51	0,35	1,21
3	A3	$15^\circ$	0,22	0	0,22	0,44

**Question 2-2**

L'ordre des mouvements et les temps correspondants sont les suivants :

$P_0 \rightarrow P_1 \rightarrow P_2 \rightarrow \text{prise} \rightarrow P_1 \rightarrow P_i \rightarrow P_j \rightarrow \text{dépose} \rightarrow P_i \rightarrow P_0$

0,8 0,5 0,1 0,5 1,2 0,5 0,1 0,5 0,8 soit un total de 5s

**Question 2-3**

Les opérations s'effectuant en série et à flux tendu, c'est le temps le plus important qui conditionne la ligne, or  $tp_2=6s$ ,  $tp_3=3s$ ,  $tp_6=5s$ .

Un bidon arrive donc toutes les 6s au robot ce qui lui laisse le temps de le palettiser et de revenir en place en  $P_0$ .

Il n'y a donc pas de stock sur la ligne et le temps d'attente à l'étape 2 est donc nul.

**Question 2-4**

Pendant le changement de palette, les bidons ne sont plus chargés et s'accumulent donc à raison de 1 toutes les 6s.

En 2mn, on a donc  $120/6=20$  bidons de stockés, soit  $Q_{\max}=20$

D'après la figure 1, nous savons que les bidons sont disposés suivant leur longueur.

Nous avons donc une longueur stockée de  $20 \times d_1 = 2400mm < 4000mm$

La capacité de stockage est donc suffisante.

**Question 2-5**

On ne récupère que  $6-5=1s$  par transfert, il faut donc 120 bidons transférés pour regagner les 120s de perdues, soit  $120 \times 5s = 600s$ , soit  $t_3=10mn$ .

Ayant alors chargé 120 bidons, il en reste alors  $250-120=130$  à charger.

On a donc  $t_4=130 \times 5 = 10mn\ 50s$ .

**Question 2-6**

Le temps de cycle est donné par  $t_3+t_4+t_5=22mn\ 50s < 30mn$ , la fonction est donc validée.

**Question 3-1**

a) On isole 8, le Bilan des Actions Mécaniques Extérieures donne alors :

-action de 4 sur 8 en  $O_9$

-action de 7 sur 8 en  $O_8$

Le système étant soumis à deux glisseurs, ils sont donc directement opposés suivant la ligne d'action, on pose donc :  $\vec{R}_{48} = R_{48} \cdot \vec{x}_3 = -\vec{R}_{78}$

On isole alors 4, le BAME donne alors :  $(O_9, \vec{R}_{84}); (O_4, \vec{P}); (O_{10}, \vec{R}_{34})$

$$\vec{R}_{84} + \vec{P} + \vec{R}_{34} = \vec{0}$$

Le Théorème de la Résultante Statique fournit alors :  $\vec{x}_3 : -R_{48} + 0 + X_{34} = 0$

$$\vec{z}_3 : 0 - P + Y_{34} = 0$$

Le Théorème du Moment Statique en  $O_{10}$  fournit alors :

$$\vec{M}(\vec{R}_{84}) + \vec{M}(\vec{P}) + \vec{M}(\vec{R}_{34}) = \vec{0}$$

$$\vec{O}_{10}\vec{O}_9 \wedge -R_{48}.\vec{x}_3 + \vec{O}_{10}\vec{O}_4 \wedge -P.\vec{z}_4 + \vec{0} = \vec{0}$$

$$500.(\cos 40.\vec{x}_3 + \sin 40.\vec{z}_3) \wedge -R_{48}.\vec{x}_3 + 500.\cos 40.\vec{x}_3 \wedge -P.\vec{z}_4 = \vec{0}$$

$$\vec{y}_3 : -500.R_{48}.\sin 40 + 500.P.\cos 40 = 0$$

Nous avons ainsi :

$$\boxed{R_{84} = -\frac{P}{\tan 40}} \\ \boxed{X_{34} = R_{48} = \frac{P}{\tan 40} \quad ; \quad Y_{34} = P}$$

b) On isole l'ensemble [3+4], le BAME nous donne :

-action de 8 sur 4 en  $O_9$ ,

-action du poids en  $O_4$ ,

-action de la pivot en  $O_3$ ,

-couple de freinage

Le TMS en  $O_3$  permet alors d'écrire :

$$\vec{M}(\vec{R}_{84}) + \vec{M}(\vec{P}) + \vec{M}_{O_3} + M_{f_3}.\vec{y}_3 = \vec{0}$$

$$\vec{O}_3\vec{O}_9 \wedge \frac{-P}{\tan 40}.\vec{x}_3 + \vec{O}_3\vec{O}_4 \wedge -P.\vec{z}_3 + (L_{O_3}.\vec{x}_3 + N_{O_3}.\vec{z}_3) + M_{f_3}.\vec{y}_3 = \vec{0}$$

$$\vec{y}_3 : -500.\sin 40.\frac{P}{\tan 40} + P.(1350 + 500.\cos 40) + M_{f_3} = 0$$

$$\text{Soit : } \boxed{M_{f_3} = -1350.P = -675N.m}$$

### Question 3-2

Grâce au réducteur, le couple de freinage disponible en sortie est de  $5 \times 200 = 1000N.m > 675Nm$ .  
La fonction est donc assurée convenablement.

### Question 3-3

a) On isole 7, le BAME fournit alors :

- action de 8 sur 7 en  $O_8$ ,  $\vec{R}_{87} = \frac{P}{\tan 40}.\vec{x}_3$

-action de la pivot en  $O_3$ ,

-action de 6 sur 7 en  $O_7$ ,  $\vec{R}_{67} = Z_{67}.\vec{z}_3$ .

Le TMS en  $O_3$  donne :

$$\overrightarrow{M}(R_{87}) + \overrightarrow{M}_{O_3} + \overrightarrow{M}(R_{67}) = \vec{0}$$

$$\overrightarrow{O_3 O_8} \wedge \frac{P}{\tan 40} \cdot \vec{x}_3 + (L_{O_3} \cdot \vec{x}_3 + N_{O_3} \cdot \vec{z}_3) + \overrightarrow{O_3 O_7} \wedge Z_{67} \cdot \vec{z}_3 = \vec{0}$$

$$500 \cdot (\cos 40 \cdot \vec{x}_3 + \sin 40 \cdot \vec{z}_3) \wedge \frac{P}{\tan 40} \cdot \vec{x}_3 + (L_{O_3} \cdot \vec{x}_3 + N_{O_3} \cdot \vec{z}_3) + 500 \cdot (-\cos 30 \cdot \vec{x}_3 + \sin 30 \cdot \vec{z}_3) \wedge Z_{67} \cdot \vec{z}_3 = \vec{0}$$

$$\vec{y}_3 : 500 \cdot \cos 40 \cdot \frac{P}{\tan 40} + 500 \cdot \cos 30 \cdot Z_{67} = 0$$

Soit :  $\boxed{Z_{67} = -\frac{\cos 40}{\cos 30} \cdot P}$

On isole alors le système [2+3+4+7+8], le BAME donne :

-action du poids en  $O_4$ ,

-action de la pivot en  $O_2$ ,

-action de 6 sur 7 en  $O_7$ ,

-couple de freinage  $M_{f_2} \cdot \vec{y}_2$

Le TMS en  $O_2$  donne :

$$\overrightarrow{O_2 O_4} \wedge \vec{P} + (L_{O_2} \cdot \vec{x}_3 + N_{O_2} \cdot \vec{z}_3) + M_{f_2} \cdot \vec{y}_2 + \overrightarrow{O_2 O_7} \wedge Z_{67} \cdot \vec{z}_3 = \vec{0}$$

$$((1350 + 500 \cos 40) \cdot \vec{x}_3 + 1250 \cdot \vec{z}_3) \wedge -P \cdot \vec{z}_3 + (L_{O_2} \cdot \vec{x}_3 + N_{O_2} \cdot \vec{z}_3) + M_{f_2} \cdot \vec{y}_2 + (-500 \cos 30 \cdot \vec{x}_3 + (1250 + 500 \sin 30) \cdot \vec{z}_3) \wedge Z_{67} \cdot \vec{z}_3 = \vec{0}$$

$$\vec{y}_3 : (1350 + 500 \cos 40) \cdot P + M_{f_2} + 500 \cos 30 \cdot \left(-\frac{\cos 40}{\cos 30} \cdot P\right) = 0$$

Soit :  $\boxed{M_{f_2} = M_{f_3} = -1350P = -675N.m}$

La fonction freinage est donc validée.

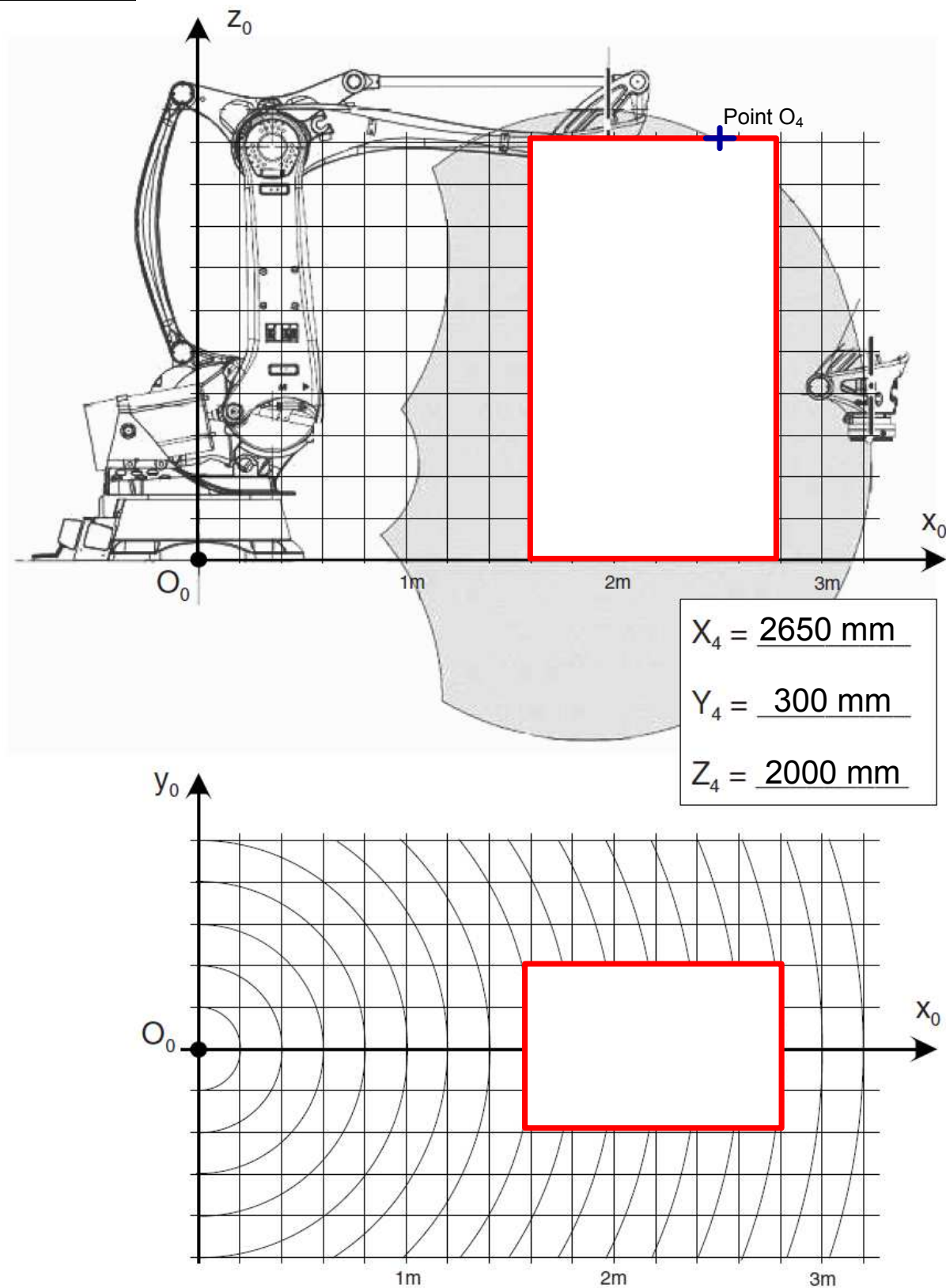
### Question 4-1

La zone problématique est l'arc de cercle en haut de la zone d'évolution.

Le cas critique correspond à la hauteur maximale des bidons sur les palettes, nous avons le tableau :

Type de bidon	$H_{\max} = H_{\text{bid}} + 0.5 \times d_3 + 200 \text{ (mm)}$
5l	1905
10l	1820
20l	1775
40l	2000

Le cas le plus défavorable est donc obtenu pour les bidons de 40L.

**Question 4-2****Figure 17 :** *Étude de l'accessibilité du robot*

La valeur respecte le cahier des charges.

**Question 4-3**

D'après les données du sujet et vu la configuration du robot de la figure 6, nous avons :

$$\vec{V}(O_4/7) = \left( \frac{d\vec{O_3O_4}}{dt} \right)_7 = O_3O_{10} \cdot \omega_{23} \cdot \vec{z_4}$$

$$\vec{V}(O_4 \in 7/1) = \vec{V}(O_3 \in 7/1) = \vec{V}(O_2 \in 7/1) + \vec{O_3O_2} \wedge \omega_{21} \cdot \vec{y_3} = O_2O_3 \cdot \omega_{21} \cdot \vec{x_3}$$

$$\vec{V}(O_4 \in 1/0) = \vec{V}(O_1 \in 1/0) + \vec{O_4O_1} \wedge \omega_{10} \cdot \vec{z_1} = (350 + 1350 + 500 \cdot \cos 40) \cdot \vec{x_3} \wedge \omega_{10} \cdot \vec{z_1}$$

$$\vec{V}(O_4 \in 1/0) = -(1700 + 500 \cdot \cos 40) \cdot \omega_{10} \cdot \vec{y_3}$$

**Question 4-4**

Le poignet 4 a donc, par rapport à 1, un mouvement de translation en  $\vec{z_3}$  et en  $\vec{x_3}$  ainsi qu'une rotation autour de  $(O_1, \vec{z_1})$ , ce qui convient très bien à sa fonction de palettisation.

L'intérêt par rapport à un robot 6 axes est avant tout une question de coût car dans ce cas les rotations des axes A4, A5 et A6 sont inutiles.

**Question 5-1**

On isole le bidon, le BAME donne alors :

-son poids appliqué en G,

-action du poignet 4.

Le Théorème de la Résultante Dynamique nous donne alors :  $\vec{R_4} + \vec{P} = M \cdot \vec{\Gamma}(G \in 4/Rg)$

$$\text{Or, } \vec{\Gamma}(G \in 4/R_g) = \left( \frac{d^2 O_3O_{10}}{dt^2} \right)_0 = \left( \frac{d1350 \cdot \omega_{32} \cdot \vec{z_4}}{dt} \right)_0 = 1350 \cdot \dot{\omega}_{32} \cdot \vec{z_4}$$

$$\text{On a ainsi, sur } \vec{z_4} : R_4 = P + 1,35 \cdot \dot{\omega}_{32} \cdot M$$

Il nous manque alors la valeur de M ou du champs de pesanteur.

Nous posons alors  $g=10\text{m/s}^2$ .

$$\text{Nous obtenons ainsi : } R_4 = M \cdot (g + 1,35 \cdot \dot{\omega}_{32}) = 853N < 1800N$$

La fonction semble donc validée.

**Question 5-2**

$\vec{\delta}_{O_1}(S_1/R_g) = \left( \frac{d\vec{\sigma}_{O_1}(S_1/R_g)}{dt} \right)_{R_g}$

$O_1$  étant fixe dans  $R_g$ , nous avons :

et  $\vec{\sigma}_{O_1}(S_1/R_g) = \vec{J}(O_1; S_1; b) \cdot \vec{\Omega}(S_1/0)$

Il vient alors :  $\vec{\sigma}_{O_1}(S_1/R_g) = \begin{pmatrix} A & -F & 0 \\ -F & B & 0 \\ 0 & 0 & C \end{pmatrix}_{O_1} \cdot \begin{pmatrix} 0 \\ 0 \\ \omega_{10} \end{pmatrix}_b = \omega_{10} \cdot C \cdot \vec{z}_1$

Puis :  $\vec{\delta}_{O_1}(S_1/R_g) = C \cdot \dot{\omega}_{10} \cdot \vec{z}_1$

Le TMD sur  $(O_1, \vec{z}_1)$  donne alors :  $C \cdot \dot{\omega}_{10} = M_1 = 200 \cdot 300 \cdot \frac{\pi}{180} = 1047 N.m$

**Question 5-3**

La puissance de 4,5kW et la vitesse de rotation de 3500tr/mn nous permettent de calculer le

couple moteur :  $C = \frac{P}{\omega} = \frac{4500}{3500 \cdot \frac{\pi}{30}} = 12,3 N.m$

En sortie de réducteur, nous avons donc :  $C_{red} = 200 \cdot C = 2457 N.m > 1047 N.m$

La puissance du moteur convient donc.

**Question 5-4**

Cette fois-ci, le point de calcul n'est pas fixe, on a donc :

$$\vec{\delta}_{O_2}(S_2/R_g) = \left( \frac{d\vec{\sigma}_{O_2}(S_2/R_g)}{dt} \right)_{R_g} + m \cdot \vec{V}(O_2/R_g) \wedge \vec{V}(G_2 \in S_2/R_g)$$

Avec :  $\vec{\sigma}_{O_2}(S_2/R_g) = M_2 \cdot \vec{O_2 G_2} \wedge \vec{V}(O_2 \in S_2/R_g) + \vec{J}_{O_2}(S_2, \vec{\Omega}_{(S_2/R_g)})$

Il convient donc de calculer chacun des termes et pour ce faire il nous faut les coordonnées du point  $G_2$ , centre de masse du système 2.

Or nous n'avons trouvé aucune donnée dans le sujet...par contre, la page 6 nous dit que « le poids de toutes les pièces est négligé », nous prenons donc  $m=0$

Nous pouvons ainsi calculer :

$$\vec{\sigma}_{O_2}(S_2/R_g) = \vec{J}_{O_2}(S_2, \vec{\Omega}_{(S_2/R_g)}) = \begin{pmatrix} A_2 & -F_2 & 0 \\ -F_2 & B_2 & 0 \\ 0 & 0 & C_2 \end{pmatrix}_{O_2} \cdot \begin{pmatrix} -\omega_{10} \cdot \sin \alpha_2 \\ \omega_{21} \\ \omega_{10} \cdot \cos \alpha_2 \end{pmatrix}_{b_2} = \begin{pmatrix} -(A_2 \cdot \omega_{10} \cdot \sin \alpha_2 + F_2 \cdot \omega_{21}) \\ F_2 \cdot \omega_{10} \cdot \sin \alpha_2 + B_2 \cdot \omega_{21} \\ C_2 \cdot \omega_{10} \cdot \cos \alpha_2 \end{pmatrix}_{b_2}$$

Puis il vient alors :

$$\begin{aligned}\bar{\delta}_{O_2}(S_2/R_g) &= \left( \frac{d\bar{\sigma}_{O_2}(S_2/R_g)}{dt} \right)_{R_g} = \frac{d}{dt} \begin{pmatrix} -(A_2 \cdot \omega_{10} \cdot \sin \alpha_2 + F_2 \cdot \omega_{21}) \\ F_2 \cdot \omega_{10} \cdot \sin \alpha_2 + B_2 \cdot \omega_{21} \\ C_2 \cdot \omega_{10} \cdot \cos \alpha_2 \end{pmatrix}_{b_2} + \bar{\Omega}(2/R_g) \wedge \begin{pmatrix} -(A_2 \cdot \omega_{10} \cdot \sin \alpha_2 + F_2 \cdot \omega_{21}) \\ F_2 \cdot \omega_{10} \cdot \sin \alpha_2 + B_2 \cdot \omega_{21} \\ C_2 \cdot \omega_{10} \cdot \cos \alpha_2 \end{pmatrix}_{b_2} \\ \bar{\delta}_{O_2}(S_2/R_g) &= \begin{pmatrix} A_2 \cdot (-\dot{\omega}_{10} \cdot \sin \alpha_2 + \omega_{10} \cdot \omega_{20} \cdot \cos \alpha_2) + F_2 \cdot \dot{\omega}_{21} \\ F_2 \cdot (\dot{\omega}_{10} \cdot \sin \alpha_2 - \omega_{10} \cdot \omega_{20} \cdot \cos \alpha_2) + B_2 \cdot \dot{\omega}_{21} \\ C_2 \cdot (\dot{\omega}_{10} \cdot \cos \alpha_2 + \omega_{10} \cdot \omega_{20} \cdot \sin \alpha_2) \end{pmatrix}_{b_2} + \begin{pmatrix} -\omega_{10} \cdot \sin \alpha_2 \\ \omega_{21} \\ \omega_{10} \cdot \cos \alpha_2 \end{pmatrix}_{b_2} \wedge \begin{pmatrix} -(A_2 \cdot \omega_{10} \cdot \sin \alpha_2 + F_2 \cdot \omega_{21}) \\ F_2 \cdot \omega_{10} \cdot \sin \alpha_2 + B_2 \cdot \omega_{21} \\ C_2 \cdot \omega_{10} \cdot \cos \alpha_2 \end{pmatrix}_{b_2}\end{aligned}$$

Soit :

$$\bar{\delta}_{O_2}(S_2/R_g) = \begin{pmatrix} A_2 \cdot (-\dot{\omega}_{10} \cdot \sin \alpha_2 + \omega_{10} \cdot \omega_{20} \cdot \cos \alpha_2) + F_2 \cdot (\dot{\omega}_{21} - \omega_{10}^2 \cdot \cos \alpha_2 \cdot \sin \alpha_2) - B_2 \cdot \omega_{21} \cdot \omega_{10} \cdot \cos \alpha_2 + C_2 \cdot \omega_{10} \cdot \omega_{21} \cdot \cos \alpha_2 \\ (C_2 - A_2) \cdot \omega_{10}^2 \cdot \cos \alpha_2 \cdot \sin \alpha_2 + F_2 \cdot (\dot{\omega}_{10} \cdot \sin \alpha_2 - \omega_{10} \cdot (\omega_{20} + \omega_{21}) \cdot \cos \alpha_2) + B_2 \cdot \dot{\omega}_{21} \\ C_2 \cdot (\dot{\omega}_{10} \cdot \cos \alpha_2 + \omega_{10} \cdot \omega_{20} \cdot \sin \alpha_2) + A_2 \cdot \omega_{10} \cdot \omega_{21} \cdot \sin \alpha_2 + F_2 \cdot (\omega_{21}^2 - \omega_{10}^2 \cdot \sin^2 \alpha_2 - B_2 \cdot \omega_{21} \cdot \omega_{10} \cdot \sin \alpha_2) \end{pmatrix}_{b_2}$$

### Question 5-5

Oui car le solide 2 se retrouve dans un référentiel en rotation.

### Question 6-1

En utilisant le théorème de l'énergie cinétique, nous calculons :  $\frac{dE_c(\Sigma/R_g)}{dt} = \Sigma P_{ext} + \Sigma P_{int}$

Soit  $E_c(\Sigma/R_g) = E_c(l/R_g) + E_c(m/R_g)$  avec  $E_c(l/R_g) = \frac{1}{2} \cdot J_1 \cdot \omega_1^2$ ,  $E_c(m/R_g) = \frac{1}{2} \cdot J_m \cdot \omega_m^2$  et

$$\frac{\omega_1}{\omega_m} = \frac{1}{N}.$$

$$E_c(\Sigma/R_g) = \frac{1}{2} \cdot (J_m \cdot \omega_m^2 + J_1 \cdot \omega_1^2) = \frac{1}{2} \cdot \left( J_m \cdot \omega_m^2 + J_1 \cdot \left( \frac{\omega_m}{N} \right)^2 \right)$$

$$E_c(\Sigma/R_g) = \frac{1}{2} \cdot \left( J_m + \frac{J_1}{N^2} \right) \cdot \omega_m^2$$

$$J_e = J_m + \frac{J_1}{N^2}$$

### Question 6-2

Avec des conditions initiales nulles :

$$(1) \quad u(t) = R \cdot i(t) + (t)$$

$$U(p) = R \cdot I(p) + E(p)$$

$$(2) \quad e(t) = k_e \cdot \omega_m(t)$$

$$E(p) = k_e \cdot \Omega_m(p)$$

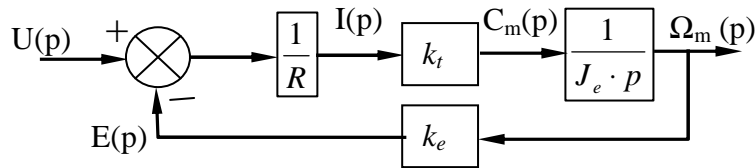
$$(3) \quad J_e \cdot \frac{d\omega_m(t)}{dt} = c_m(t)$$

$$J_e \cdot p \cdot \Omega_m(p) = C_m(p)$$

$$(4) \quad c_m(t) = k_t \cdot i(t)$$

$$C_m(p) = k_t \cdot I(p)$$



**Question 6-3****Question 6-4**

$$M(p) = \frac{\frac{1}{R} \cdot k_t \cdot \frac{1}{J_e \cdot p}}{1 + \frac{1}{R} \cdot k_t \cdot \frac{1}{J_e \cdot p} \cdot k_e}$$

$$M(p) = \frac{k_t}{R \cdot J_e \cdot p + k_t \cdot k_e}$$

$$M(p) = \frac{\frac{1}{k_e}}{\frac{R \cdot J_e}{k_t \cdot k_e} \cdot p + 1}$$

Avec  $M(p) = \frac{k_m}{\tau_m \cdot p + 1}$

$$\tau_m = \frac{R \cdot J_e}{k_t \cdot k_e} \text{ en s}$$

$$k_m = \frac{1}{k_e} \text{ en rad s}^{-1} \text{ V}^{-1}$$

**Question 6-5**

$$\tau_m = \frac{2 \cdot 5,25 \cdot 10^{-3}}{0,2 \cdot 0,2}$$

$$\tau_m = 0,2625 \text{ s}$$

$$T_{r5\%} = 3 \cdot \tau_m = 0,7875 \text{ s}$$

$$\omega_c = \frac{1}{\tau_m} = 3,08 \text{ rad} \cdot \text{s}^{-1}$$

$$\tau_m = \frac{2 \cdot 9 \cdot 10^{-3}}{0,2 \cdot 0,2}$$

$$\tau_m = 0,45 \text{ s}$$

$$T_{r5\%} = 3 \cdot \tau_m = 1,35 \text{ s}$$

$$\omega_c = \frac{1}{\tau_m} = 2,22 \text{ rad} \cdot \text{s}^{-1}$$

**Question 6-6**

Plus l'inertie équivalente est importante, plus le système est lent.

Le gain  $k_g$  de la génératrice tachymétrique

$$s'écrit : k_g = \frac{12-0}{3600-0} \cdot \frac{60}{2 \cdot \pi} = 3,27 \cdot 10^{-3} \text{ V.rad}^{-1}.s$$

$$k_g = 3,27 \cdot 10^{-3} \text{ V.rad}^{-1}.s$$

### Question 6-7

$$H(p) = \frac{G \cdot \frac{k_m}{1 + \tau_m \cdot p}}{1 + \frac{G \cdot k_m \cdot k_g}{1 + \tau_m \cdot p}} \quad H(p) = \frac{G \cdot k_m}{1 + \tau_m \cdot p + G \cdot k_m \cdot k_g}$$

$$\frac{\Omega_m(p)}{U_v(p)} = H(p) = \frac{\frac{G \cdot k_m}{1 + G \cdot k_m \cdot k_g}}{\frac{\tau_m}{1 + G \cdot k_m \cdot k_g} \cdot p + 1}$$

$$\text{Avec : } \frac{\Omega_m(p)}{U_v(p)} = H(p) = \frac{k'_m}{\tau'_m \cdot p + 1}$$

$$k'_m = \frac{G \cdot k_m}{1 + G \cdot k_m \cdot k_g} \text{ en rad} \cdot \text{s}^{-1} \cdot \text{V}^{-1}$$

$$\text{et } \tau'_m = \frac{\tau_m}{1 + G \cdot k_m \cdot k_g} \text{ en s}$$

### Question 6-8

$$\lim_{G \rightarrow \infty} \left( \frac{\frac{G \cdot k_m}{1 + G \cdot k_m \cdot k_g}}{\frac{\tau_m}{1 + G \cdot k_m \cdot k_g} \cdot p + 1} \right) = \lim_{G \rightarrow \infty} \left( \frac{\frac{G \cdot k_m}{1 + G \cdot k_m \cdot k_g}}{1} \right) = \lim_{G \rightarrow \infty} \left( \frac{G \cdot k_m}{1 + G \cdot k_m \cdot k_g} \right) = \lim_{G \rightarrow \infty} \left( \frac{G \cdot k_m}{G \cdot k_m \cdot k_g} \right) = \frac{1}{k_g}$$

d'où

$$H(p) \approx \frac{1}{k_g}$$

**Question 6-9**

On a  $\frac{\omega_m(t)}{N} = \omega_r(t)$  et  $\omega_r(t) = \frac{d \alpha_r(t)}{dt}$  avec des conditions initiales nulles

Soit  $\frac{\omega_m(t)}{N} = \omega_r(t)$

$$\Omega_m(p) = \frac{\Omega_r(p)}{N}$$

Soit  $\omega_r(t) = \frac{d \alpha_r(t)}{dt}$

$$\Omega_r(p) = p \cdot \alpha_r(p)$$

D'où

$$R(p) = \frac{\alpha_r(p)}{\Omega_m(p)} = \frac{1}{N \cdot p}$$

D'où

$$k_a = \frac{\pi}{180} \cdot k_r$$

D'où

$$k_a = 6,98 \cdot 10^{-2} \text{ V/}^\circ$$

**Question 6-10**

La fonction de transfert en boucle ouverte peut s'écrire :  $T(p) = \frac{k_c \cdot k_m' \cdot k_r}{p \cdot (1 + \tau_m' \cdot p)}$

$$T(p) = \frac{k_{BO}}{p \cdot (1 + \tau_m' \cdot p)}$$

$$k_{BO} = \frac{k_c \cdot k_m' \cdot k_r}{N}$$

[http://www.upsti.fr/serv3/module\\_formation\\_SLCI/co/Contenu93.html](http://www.upsti.fr/serv3/module_formation_SLCI/co/Contenu93.html)

**Question 6-11**

a)

La marge de phase est définie par  $M_\varphi = 180^\circ + \arg(T(j \cdot \omega_{Gain=0}))$

$$\text{D'où } -45^\circ = 180 + \arg(k_{BO}) - \arg\left(\frac{1}{j \cdot \omega}\right) - \arg\left(\frac{1}{1 + \tau_m' \cdot j \cdot \omega}\right)$$

$$-45^\circ = 180 + 0^\circ - 90^\circ - \arctan(\tau_m' \cdot \omega) \text{ soit } \omega = \omega_c = \frac{1}{\tau_m'}$$

$$\text{D'où } 1 = \|T(j \cdot \omega)\| = k_{BO} \cdot \frac{1}{\omega_c} \cdot \frac{1}{\sqrt{1 + \left(\frac{\omega_c}{\omega_c}\right)^2}}$$

$$k_{BO} = \frac{\sqrt{2}}{\tau_m'}$$

b)

Avec  $k_{BO} = \frac{k_c \cdot k_m' \cdot k_r}{N}$  on obtient :  $\frac{\sqrt{2}}{\tau_m'} = \frac{k_c \cdot k_m' \cdot k_r}{N}$

$$k_c = \frac{\sqrt{2} \cdot N}{\tau_m' \cdot k_m' \cdot k_r}$$

$$k_c = \frac{\sqrt{2} \cdot 200}{5 \cdot 10^{-3} \cdot 30 \cdot 4}$$

$$k_c = 471,10 \text{ sans unité}$$

c)

L'écart de position est défini par :

$$\varepsilon_s = \lim_{p \rightarrow 0} p \cdot \varepsilon(p) = \lim_{p \rightarrow 0} p \cdot (U_e(p) - U_r(p)) \text{ pour } U_e(p) \text{ échelon d'amplitude } a$$

$$\varepsilon(p) = U_e(p) - U_r(p) = U_e(p) - T(p) \cdot \varepsilon(p)$$

$$\varepsilon(p) = \frac{1}{1+T(p)} \cdot U_e(p)$$

$$\varepsilon_s = \lim_{p \rightarrow 0} p \cdot \left( \frac{1}{1+T(p)} \cdot U_e(p) \right)$$

Pour une position donnée  $U_e(p) = \frac{\alpha_0 \cdot k_a}{p}$  soit  $\varepsilon_s = \lim_{p \rightarrow 0} p \cdot \left( \frac{1}{1+T(p)} \cdot \frac{\alpha_0 \cdot k_a}{p} \right)$

$$\varepsilon_s = \lim_{p \rightarrow 0} p \cdot \left( \frac{1}{1 + \frac{k_{BO}}{p \cdot (1 + \tau_m' \cdot p)}} \cdot \frac{\alpha_0 \cdot k_a}{p} \right)$$

$$\text{soit } \varepsilon_s = \lim_{p \rightarrow 0} \frac{\alpha_0 \cdot k_a \cdot p \cdot (1 + \tau_m' \cdot p)}{p \cdot (1 + \tau_m' \cdot p) + k_{BO}} = 0$$

$$\varepsilon_s = 0$$

Ce résultat était prévisible car le système est de classe 1.

**Question 6-12**Si nous avons une consigne de vitesse de  $105^\circ \cdot s^{-1}$ .  $\alpha_e(t) = a \cdot t = 105 \cdot t$ 

$$\text{D'où } \alpha_e(p) = \frac{105}{p^2}$$

**Question 6-13**

L'écart de trainage est défini par :

$$\varepsilon_d = \lim_{p \rightarrow 0} p \cdot \varepsilon(p) = \lim_{p \rightarrow 0} p \cdot (U_e(p) - U_r(p)) \text{ pour } U_d(p) \text{ rampe de coefficient}$$

directeur a.

$$\varepsilon_d = \lim_{p \rightarrow 0} p \cdot \left( \frac{1}{1+T(p)} \cdot \frac{105 \cdot k_a}{p^2} \right)$$

$$\varepsilon_d = \lim_{p \rightarrow 0} p \cdot \left( \frac{1}{1 + \frac{k_{BO}}{p \cdot (1 + \tau'_m \cdot p)}} \cdot \frac{105 \cdot k_a}{p^2} \right) \quad \text{soit}$$

$$\varepsilon_d = \lim_{p \rightarrow 0} \frac{105 \cdot p \cdot (1 + \tau'_m \cdot p)}{p \cdot (p \cdot (1 + \tau'_m \cdot p) + k_{BO})} = \frac{105 \cdot k_a}{k_{BO}}$$

$$\boxed{\varepsilon_d = \frac{105 \cdot k_a}{k_{BO}}}$$

$$\text{Avec } k_{BO} = \frac{\sqrt{2}}{\tau'_m}$$

on a

$$\boxed{\varepsilon_d = \frac{105 \cdot k_a \cdot \tau'_m}{\sqrt{2}}}$$

$$\boxed{\varepsilon_d = 0,025 \text{ V}}$$

Si on reconstruit un schéma bloc à retour unitaire à partir du  $k_a$  proposé nous obtenons le résultat classique.

$$\varepsilon_d = \frac{105}{k_{BO}} \quad \text{soit} \quad \varepsilon_d = \frac{105 \cdot \tau'_m}{\sqrt{2}} \quad \text{soit } 0,37^\circ \text{ le cahier des charges est respecté.}$$